

# Quelques nouvelles récentes

Sébastien Descotes-Genon

[descotes@th.u-psud.fr](mailto:descotes@th.u-psud.fr)

Laboratoire de Physique Théorique  
CNRS & Université Paris-Sud, 91405 Orsay, France

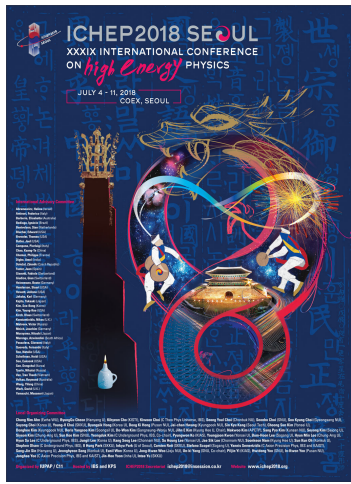
Paris, 26 juillet 2018



# Été comme hiver

# Les "confs"

- En physique des particules, conférences d'hiver (Moriond) et d'été (ICHEP, Lepton-Photon, EPS-HEP)



- ICHEP: conf. internationale, organisée sous l'égide de l'International Union of Pure and Applied Physics, tous les 2 ans, dans un endroit différent (Amérique, Asie, Europe)
- 1 semaine, à Séoul (Corée du Sud)
- 1119 participants du monde entier
- Autant pour les présentations, calibrées, que pour les discussions, informelles, aux pauses (rumeurs...)
- Autres occasions de rencontre: réunions satellites (6), confs thématiques, workshops, séminaires...

# Les “confs”

- En physique des particules, conférences d'hiver (Moriond) et d'été (ICHEP, Lepton-Photon, EPS-HEP)

July 4 (Wed) Day 1	July 5 (Thu) Day 2	July 6 (Fri) Day 3	July 7 (Sat) Day 4	July 8 (Sun) Day 5	July 9 (Mon) Day 6	July 10 (Tue) Day 7	July 11 (Wed) Day 8
	Parallel Sessions 09:00-10:30	Parallel Sessions 09:00-10:30	Parallel Sessions 09:00-10:30	Tour & Satellite Meetings	Opening of Plenary Session 09:00-10:00	Plenary Session 09:45-11:15	Plenary Session 08:45-10:55
	Coffee Break 10:30-11:00	Coffee Break 10:30-11:00	Coffee Break 10:30-11:00		Coffee Break 10:00-10:30	Coffee Break 11:15-11:30	Coffee Break 10:55-11:15
	Parallel Sessions 11:00-12:30	Parallel Sessions 11:00-12:30	Parallel Sessions 11:00-12:30		Plenary Session 10:30-12:00	ICFA Report 11:25-11:50 Directors' Forum & Round-table Discussions 11:50-12:25	C11 Report, Award, Poster show-case 11:15-12:25
	Lunch 12:30-14:00	Lunch 12:30-14:00	Lunch 12:30-14:00		Photo Session 12:00-12:15	Lunch 12:35-13:40	Lunch 12:25-13:40
	Parallel Sessions 14:00-16:00	Parallel Sessions 14:00-16:00	Parallel Sessions 14:00-16:00		Plenary Session 13:30-15:30	Plenary Session 13:40-15:40	Plenary Session 13:40-15:50
Registration 13:00-18:00	Coffee Break 16:00-16:30	Coffee Break 16:00-16:30	Coffee Break 16:00-16:30		Coffee Break 15:30-16:00	Coffee Break 15:40-16:10	Coffee Break 15:50-16:20
	Parallel Sessions 16:30-18:30	Parallel Sessions 16:30-18:30	Parallel Sessions 16:30-18:30		Plenary Session 16:00-18:30	Plenary Session 16:10-17:40	Plenary Session 16:20-17:50
Reception 18:00-18:30	Poster Session 18:30-19:30		Public Lecture I 19:00-21:00		Banquet 19:00-21:00	Public Lecture II 19:30-21:00	

- ICHEP: conf. internationale, organisée sous l'égide de l'International Union of Pure and Applied Physics, tous les 2 ans, dans un endroit différent (Amérique, Asie, Europe)
- 1 semaine, à Séoul (Corée du Sud)
- 1119 participants du monde entier
- Autant pour les présentations, calibrées, que pour les discussions, informelles, aux pauses (rumeurs...)
- Autres occasions de rencontre: réunions satellites (6), confs thématiques, workshops, séminaires...

# Les quatre premiers jours d'ICHEP2018

- Sessions parallèles (16 sessions, 15-20 min sur sujet spécifique)
- 835 talks + 226 posters + réunions parallèles
- résumé quotidien par lettre électroniques

14:00	Searches for SUSY with bo... New results from RENO Electroweak Penguin Decays at ... Search for the rare decay \$B \rightarrow \Lambda \bar{\Lambda}\$ Searches for squarks and gluini... Searches for direct pair production... Search for a Light Sterile Neutrino ...	Searches for strongly-... Latest Reactor Antineutrino The measurement of absolute ... Connectivity b→spp anomalies to enhanced...	The design and layout... Leptogenesis in Cosmological ... Dark matter assisted ... Upgrades of the CMS ... The upgrade ... Small-Scale Thin Gap ...	Measured of Bs and Y(5S) Decay ... Observation of Y(4S) → eta' Y(15)... Study of radiative decays of the \$J/\psi\$... Cosmological Helical Hypermagne... Non-thermal WIMP baryogenesis Studies of Bc mesons at LHCb	Search for rare decays of ... Searches of Higgs boson rar... Searches for non-Standard ... Searches for light Higgs bosons a... Machine learning at CERN: A... Machine learning at ATLAS, LHCb, an...	Machine learning at CERN: Ionizing Cooling Demonstration in MICE Recent results from MICE on multiple Coulomb scattering and energy loss TrackML tracking Machine Learning challenge	First Ever Ionization Cooling Demonstration in MICE
15:00	Searches for long-lived part... JUNO: A Multipurpose Underground ... Reconstruction techniques in supers... Test of Beyond-Standard-...	Towards establishing New Physic... Analysis Go(n,gamma) reaction ... Tests of lepton universality with semitauonic ... NSI @LB	Upgrade the CMS ... Results of quality co... Frontend and back... Fast timing measurement...	Kaluza-Klein Towers in... Measurements of beauty produc... Search for the \$B\bar{B}\$-meson de... The spectrum of the axi... The generation of B-mod... Heavy quark(onia) spectroscopy at LHCb	Searches for non-Standard ... Searches for charged Higgs ... Searches for additional... Particle identification at LHCb: ... Fast calorimeter simulation... New approaches using ma...	Application of machine learning t... Progress on the 650MHz/800kW CW klystron development... Progress on stabilising relativistic lepton beams for...	Progress in Heavy Ions, Astro-particle Physics and Cosmology, Dark Matter Detection, Formal Theory Development, Accelerators, Detectors, Computing and Data Handling, Education and Outreach, Diversity and Inclusion, Technology Applications and Industrial Opportunities...
16:00	Coffee break  COEX, SEOUL				16:00 - 16:30		

# Le dimanche



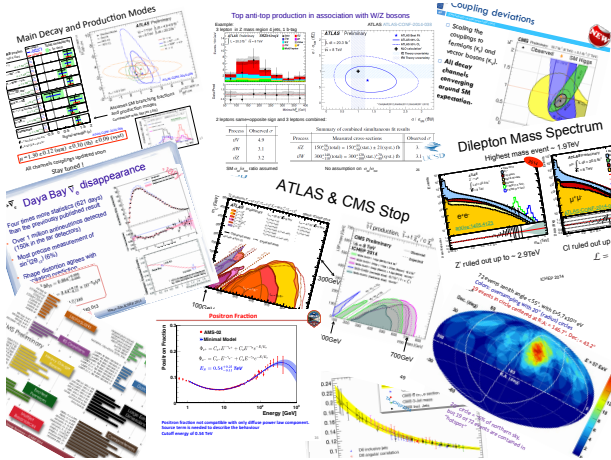
- Digérer les résultats, travailler, faire du tourisme...
- Des réunions de groupes spécifiques (International Committee for Future Accelerators, IUPAP C11, Hyper K, Dune...)

# Les trois derniers jours d'ICHEP2016

- 3 jours de sessions plénières (41 revues “longues” sur un domaine)
- 2 conférence grand public, 1 discours de Samsung
- 2 remises de prix pour de jeunes scientifiques
- activités “sociales” (non-scientifiques) le soir...

	Higgs, experimental	Giacinto Piacquadio	
09:00	COEX, SEOUL		08:45 - 09:45
	Top/EW/SM	Louise Skinnari	
	COEX, SEOUL		09:15 - 09:45
	Theory (SM Higgs, top, EW)	Dr Matthew Dolan	
10:00	COEX, SEOUL		09:45 - 10:15
	SUSY	Sara Strandberg	
	COEX, SEOUL		10:15 - 10:45
	Exotics	Daniele Del Re	
11:00	COEX, SEOUL		10:45 - 11:15
	Coffee break		11:15 - 11:35
	COEX, SEOUL		
	ICFA Report	Pushpalatha Bhat	
	COEX, SEOUL		11:35 - 11:50
	Directors' Forum & Round-table Discussions	Fabiola Gianotti et al.	
12:00			

# De quoi se cultiver...

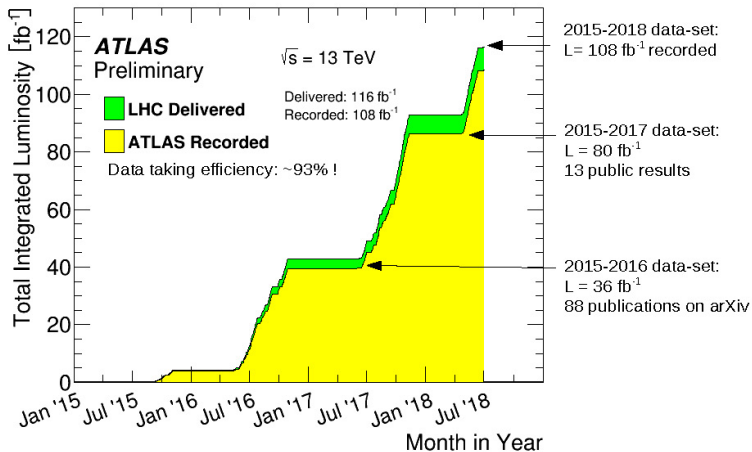


- Beaucoup de transparents
- Des articles paraissent juste après les talks
- Proceedings (comptes-rendus) à écrire dans la foulée

# Pousser les limites

# De plus en plus de données

Augmentation de la quantité de données pour les expériences du LHC



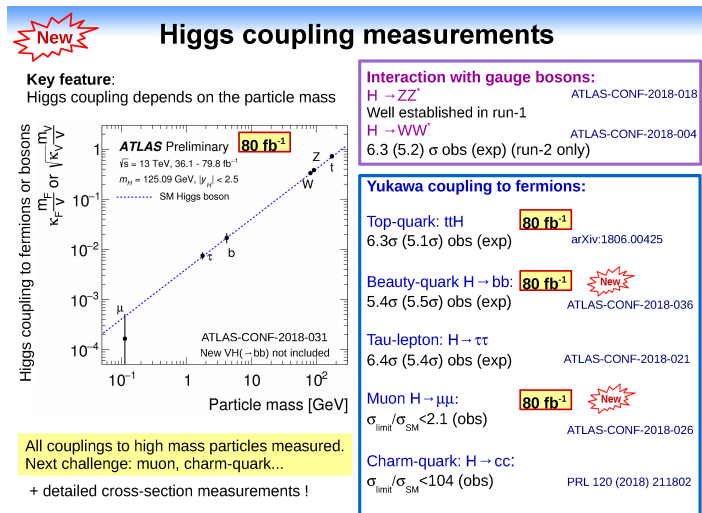
We are about a factor of 2 above LHC design luminosity.

Expect  $L = 140 - 150 \text{ fb}^{-1}$  for full 2015-2018 data-set.

<sup>2</sup>Tester en détail tout le MS, et en particulier le boson de Higgs

# Un boson de Higgs de mieux en mieux connu... .

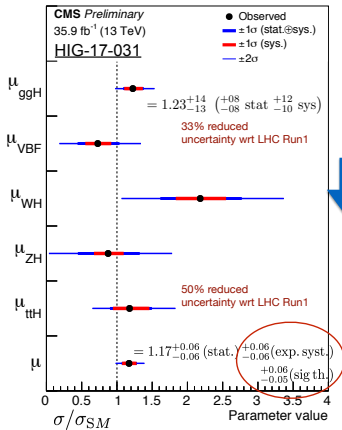
Nouveau: observation  $H \rightarrow b\bar{b}$  (plus de 5  $\sigma$ ) par ATLAS et CMS  
(assez de stat pour voir signal au-dessus du bruit de fond)



# ... dans sa production et ses désintégrations

Comparaison bientôt dominée par erreurs syst (et théorie) !

## HIGGS PROPERTIES



Production

	ggF	VBF	VH	ttH
$H \rightarrow ZZ \rightarrow 4l$	●	●	●	●
$H \rightarrow \gamma\gamma$	●	●	●	●
$H \rightarrow WW$	●	●	●	●
$H \rightarrow bb$	●		●	●
$H \rightarrow \tau\tau$	●	●		●
$H \rightarrow \mu\mu$	●	●		
$H \rightarrow \text{inv}$	●	●	●	

Total of 250 even categories

$BF(H \rightarrow \text{inv.}) < 22\% @ 95\% \text{ C.L.}$

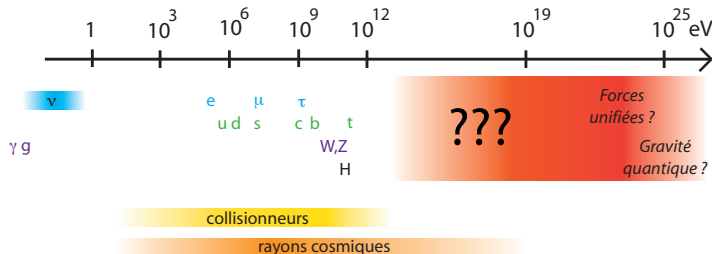
- Nearing theory-limited territory with just 2016 data

Shahram Rahatlou, Roma Sapienza & INFN

10

# Au-delà du Modèle Standard (1)

- Masse et propriétés du boson de Higgs en parfait accord avec les attentes basées sur les expériences antérieures
- Chaque montée en énergie a donné lieu à des découvertes: sous-structure, nouvelle interaction, nouvelles particules

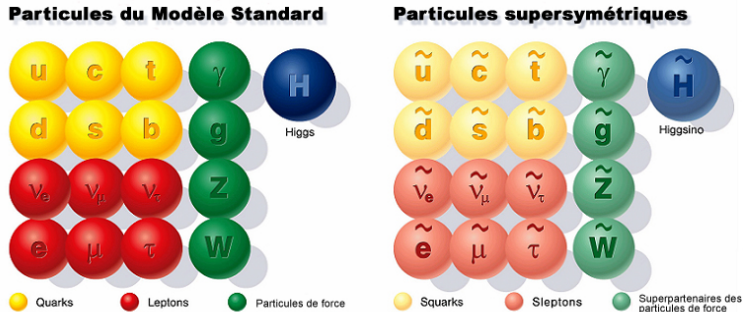


Modèle Standard très efficace, mais pas parfaitement satisfaisant

- Nombreux paramètres (19 !) fixés à des valeurs arbitraires
- Pourquoi trois familles, avec la même structure d'interactions ?
- Pourquoi trois interactions très différentes ?
- Astro/Cosmo: gravitation ? matière noire ? si peu d'antimatière ?

# Au-delà du Modèle Standard (2)

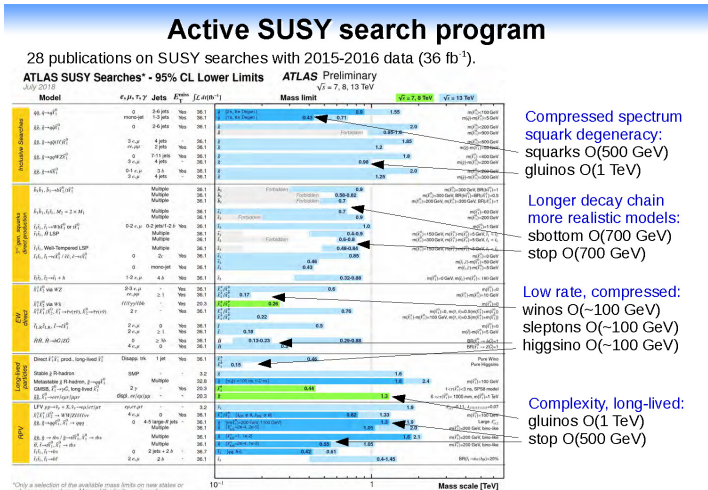
- De nouvelles symétries (limiter le nombre de paramètres ?),
- De nouvelles interactions (cadre plus cohérent ?),
- De nouvelles dimensions (accomoder la gravitation ?)...



- Ne pas être en désaccord avec les observations antérieures
- Avoir des conséquences observables...

Pour l'instant, pas de nouvelles particules. . .

- Collisions énergétiques entre quarks/gluons des protons
  - Produire de nouvelles particules-antiparticules



<sup>a</sup>Only a selection of the available mass limits on new states or phenomena is shown. Many of the limits are based on simplified models. *c.f.* note for the anomalous exotic

– Simplified signatures covered to high masses, but plenty of low mass unexplored model space.

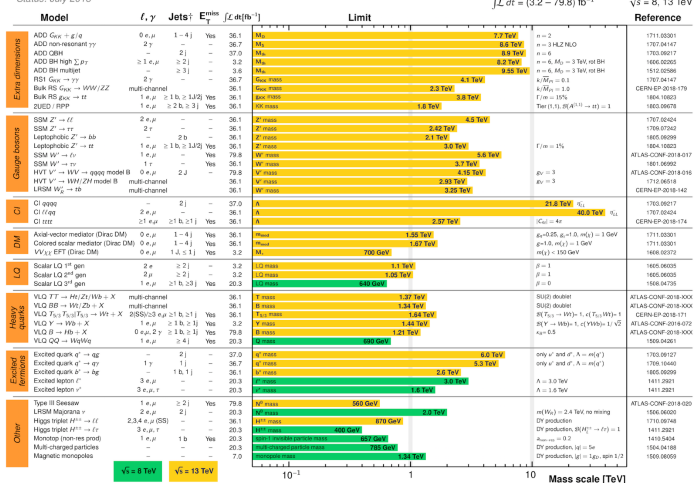
# ... mais de nombreux modèles testés

## ATLAS Exotics Searches\* - 95% CL Upper Exclusion Limits

Status: July 2018

ATLAS Preliminary

$\sqrt{s} = 13 \text{ TeV}$

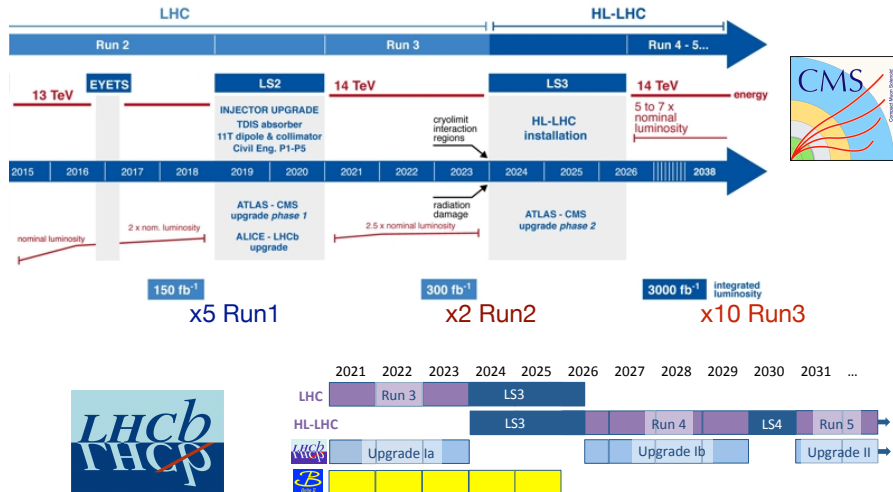


\*Only a selection of the available mass limits on new states or phenomena is shown.

<sup>†</sup>Small-radius (large-radius) jets are denoted by the letter (J).

dimensions supplémentaires, nouvelles interactions, quarks superlourds, leptoquarks, Higgs supplémentaires...

# Et pour la suite ?

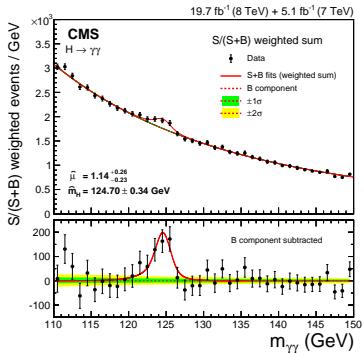


- réflexion au CERN sur le futur
- high-luminosity LHC + upgrade des détecteurs
- à plus long terme, monter en énergie

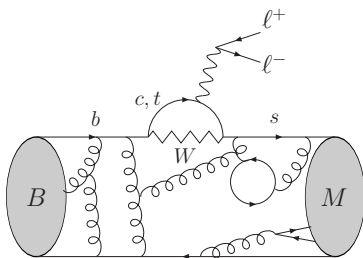
Tous les leptons naissent  
libres et égaux en droits ?  
Pas si sûr !

# Deux chemins complémentaires

Voie relativiste:  $E = mc^2$



Voie quantique:  $\Delta E \Delta t \geq \hbar/2$



Collisions avec assez dénergie  
pour produire directement des  
particules au-delà du MS

Haute énergie

Preuve "directe"

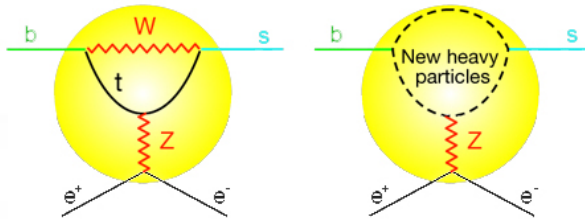
Petites déviations venant  
d'états intermédiaires  
avec des particules lourdes

Haute intensité

Preuve indirecte

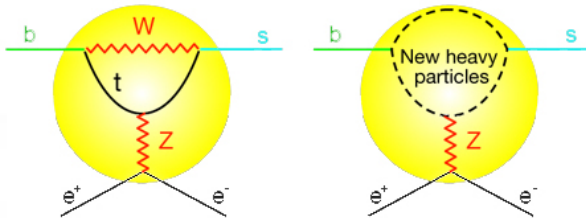
$$b \rightarrow s\ell^+\ell^- \quad (\ell = e \text{ ou } \mu)$$

- Courant neutre changeant la saveur:  $b$  et  $s$  de même charge
- Processus avec une très faible probabilité dans le Modèle Standard (passage via  $W$  et  $t$  virtuels)
- Sensible à des états intermédiaires virtuels lourds au-delà du MS, qui se manifesteront par des écarts entre MS et expérience



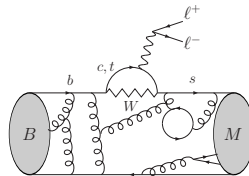
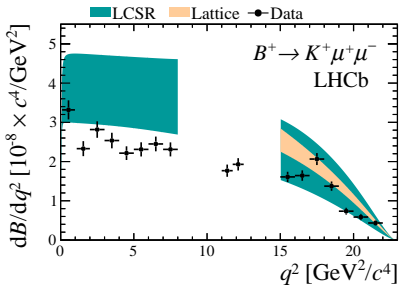
$$b \rightarrow s\ell^+\ell^- \quad (\ell = e \text{ ou } \mu)$$

- Courant neutre changeant la saveur:  $b$  et  $s$  de même charge
- Processus avec une très faible probabilité dans le Modèle Standard (passage via  $W$  et  $t$  virtuels)
- Sensible à des états intermédiaires virtuels lourds au-delà du MS, qui se manifesteront par des écarts entre MS et expérience



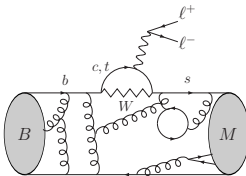
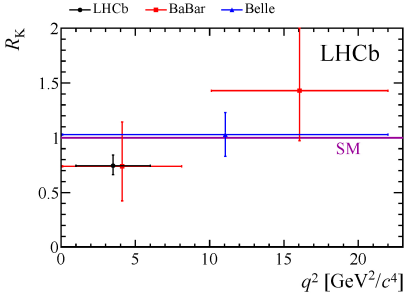
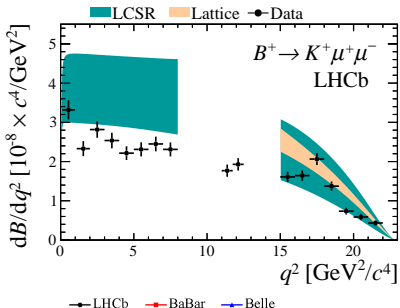
- Processus théorique en termes de quarks, mais expériences mesurées en termes de hadrons: compliqué sur le plan théorique !
- Beaucoup de transitions possibles entre différents hadrons:  
 $B \rightarrow K\ell^+\ell^-$ ,  $B \rightarrow K^*\ell^+\ell^-$ ,  $B_s \rightarrow \phi\ell^+\ell^-$ ,  $\Lambda_b \rightarrow \Lambda\ell^+\ell^- \dots$

# $B \rightarrow K\ell\ell$



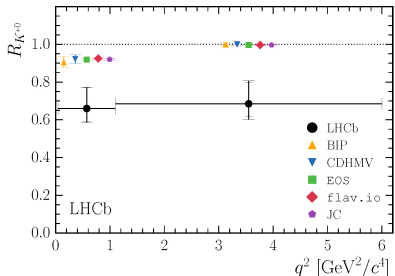
- LHCb:  $Br(B \rightarrow K\mu\mu)$  trop bas par rapport au MS

# $B \rightarrow K\ell\ell$

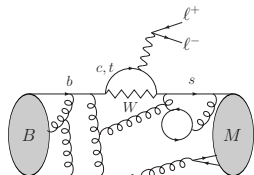


- LHCb:  $Br(B \rightarrow K\mu\mu)$  trop bas par rapport au MS
- $R_K = \frac{Br(B \rightarrow K\mu\mu)}{Br(B \rightarrow Kee)} \Big|_{[1,6]} = 0.745^{+0.090}_{-0.074} \pm 0.036$
- = 1 dans le MS (universalité du couplage leptistique)
- Mise à jour espérée (mais pas faite) ICHEP2018

# $B \rightarrow K^* \ell \ell$



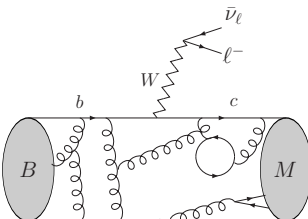
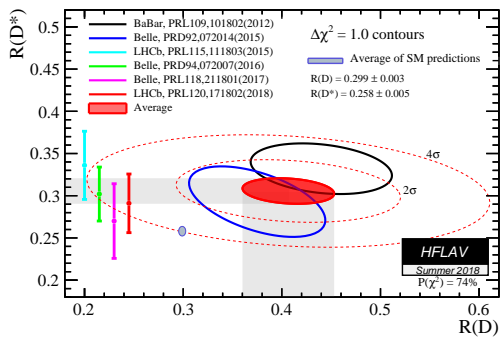
$$R_{K^*} = \text{Br}(B \rightarrow K^* \mu\mu) / \text{Br}(B \rightarrow K^* ee)$$



- LHCb 2017:  $R_{K^*}$  est lui aussi trop bas par rapport au MS
- $\simeq 1$  dans le MS (universalité du couplage leptonique)
- L'universalité des couplages leptonaïques serait donc bien mise en défaut !
- Très bon accord avec d'autres déviations observées ( $R_K$ , mais aussi d'autres observables  $b \rightarrow s \mu\mu$ )
- En accord avec une contribution de NP de 25% par rapport au MS

# Les $\mu$ , mais aussi les $\tau$ ?

- Comparaison des transitions  $b \rightarrow c\ell\nu_\ell$  ( $\ell = e, \mu$ ) et  $b \rightarrow c\tau\nu_\tau$
- Processus non supprimés dans le Modèle Standard
- Déviations inattendues et importantes
- Dues à une non-universalité aussi dans le secteur des  $\tau$  ?



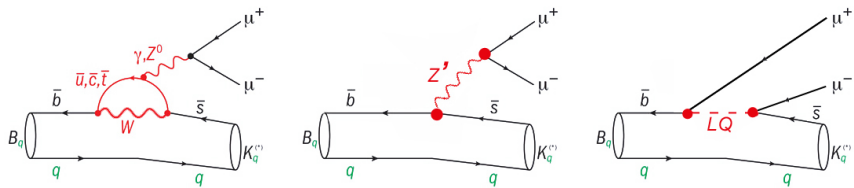
$$R_{D^{(*)}} = \frac{Br(B \rightarrow D^{(*)}\tau\nu)}{Br(B \rightarrow D^{(*)}\ell\bar{\nu}_\ell)}$$

# Des explications ?

- Plusieurs fluctuations statistiques intempestives (?)
- Sous-estimation d'incertitudes expérimentales (géométrie du détecteur) ou théoriques (compréhension de QCD) (?)
- Il y a de la nouvelle physique (?)

# Des explications ?

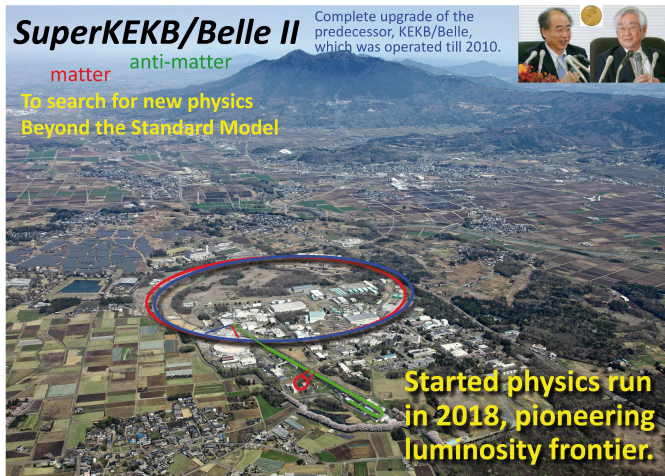
- Plusieurs fluctuations statistiques intempestives (?)
- Sous-estimation d'incertitudes expérimentales (géométrie du détecteur) ou théoriques (compréhension de QCD) (?)
- Il y a de la nouvelle physique (?)



Deviations cohérentes avec explication de NP, mais laquelle ?

- Nouvelles interactions  $W'$  et  $Z'$
- Leptoquarks, couplant à quark + lepton des 2ème et 3ème famille
- Induisant des processus violant l'universalité leptonnaire...  
voire la saveur leptonnaire ( $B \rightarrow K^{(*)}e\mu$  ou  $B \rightarrow K^{(*)}\mu\tau$  possible ?)

# A l'est, du nouveau

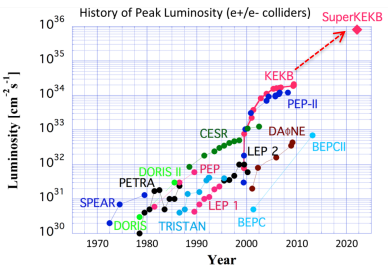
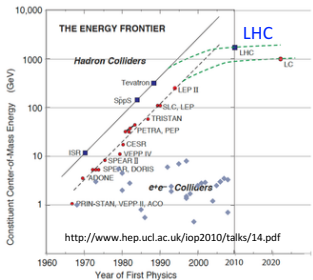
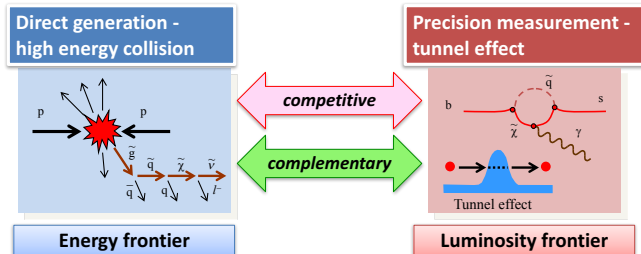


K. Akai, SuperKEKB/Belle II status, ICHEP2018, July 9, 2018

2

- Collisionneur  $e^+$  (4 GeV)  $e^-$  (7 GeV) situé à Tsukuba (Japon)
- Etude intensive des désintégrations du quark  $b$
- 25 pays, 110 institutions, 800 chercheurs

## Des recherches complémentaires

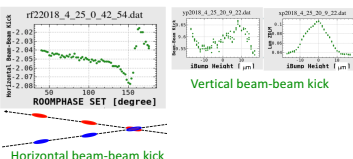


K. Akai, SuperKEKB/Belle II status, ICHEP2018, July 9, 2018

# Belle II entre en action

*First collision*

Apr. 26, 2018



K. Akai, SuperKEKB/Belle II status, ICHEP2018, July 9, 2018



26

Amélioration progressive des performances du collisionneur avant de commencer à prendre des données (2019 !)

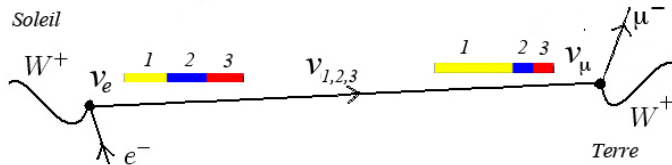
# Trois neutrinos sur une balançoire

# Les oscillations de neutrinos

Différence entre états propres de masse  $\nu_{1,2,3}$  et d'interactions  $\nu_{e,\mu,\tau}$

$$\begin{bmatrix} \nu_e \\ \nu_\mu \\ \nu_\tau \end{bmatrix} = \begin{bmatrix} 1 & c_{23} & s_{23} \\ -s_{23} & c_{23} & 0 \end{bmatrix} \begin{bmatrix} c_{13} & 1 & e^{-i\delta} s_{13} \\ -e^{i\delta} s_{13} & c_{13} & 0 \end{bmatrix} \begin{bmatrix} c_{12} & s_{12} & 0 \\ -s_{12} & c_{12} & 0 \end{bmatrix} \begin{bmatrix} 1 & e^{i\lambda_2} & e^{i\lambda_3} \\ 0 & 1 & 0 \end{bmatrix} \begin{bmatrix} \nu_1 \\ \nu_2 \\ \nu_3 \end{bmatrix}$$

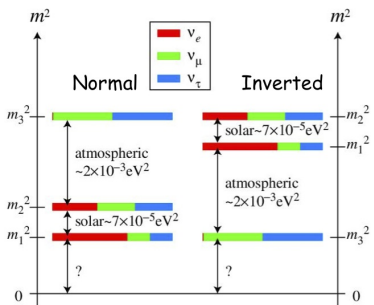
- 3 rotations:  $c_{ij} = \cos \theta_{ij}$ ,  $s_{ij} = \sin \theta_{ij}$
- Asymétrie  $\nu \bar{\nu}$ : phase  $\delta$  (Dirac),  $\lambda_{2,3}$  (Majorana)
- 6 paramètres + 2 différences de masse + 1 échelle absolue
- $\nu_e$  combinaison de 3 états  $\nu_1, \nu_2, \nu_3$ , de masses différentes, se propageant à des vitesses légèrement différentes
- la composition de l'état change sur de longues distances !  
 $|\nu_e\rangle \rightarrow c_e(L)|\nu_e\rangle + c_\mu(L)|\nu_\mu\rangle + c_\tau(L)|\nu_\tau\rangle$  **oscillation de neutrinos**



# Une connaissance qui s'affine

- Neutrinos solaires
- Neutrinos atmosphériques
- Neutrinos d'accélérateurs
- Neutrinos de réacteurs

SNO, SK...  
SuperKamiokande...  
MINOS, T2K, NOvA...  
KamLand, RENO, Daya Bay, Solid...

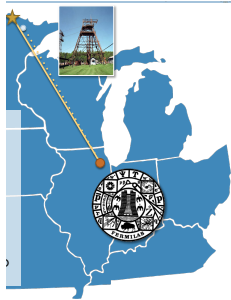
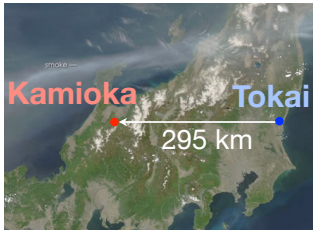


- Précision des connaissances

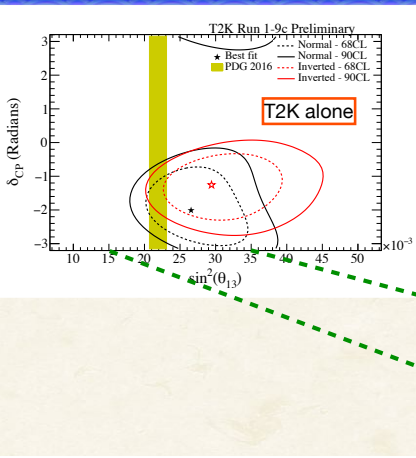
$$\begin{aligned}\Delta m^2 &\simeq 2\%, \\ \sin^2 \theta_{12} &\simeq 6\%, \\ \sin^2 \theta_{13} &\simeq 5\%, \\ \sin^2 \theta_{23} &\simeq 9\%\end{aligned}$$

- Et des inconnues: ordre des masses, violation de CP  $\delta$

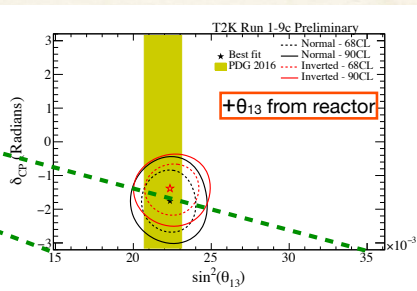
# Le voile se lève sur $\delta$



- T2K: faisceau (anti)neutrino de Tokai vers SuperKamiokande (Japon) 295 km
- NO $\nu$ A: faisceau de Fermilab à Ash River (USA) 810 km
- Dans chaque cas, un détecteur proche et un détecteur lointain (comparaison flux)
- Disparition de  $\nu_\mu$  ou  $\bar{\nu}_\mu$ , apparition de  $\nu_e$  ou de  $\bar{\nu}_e$

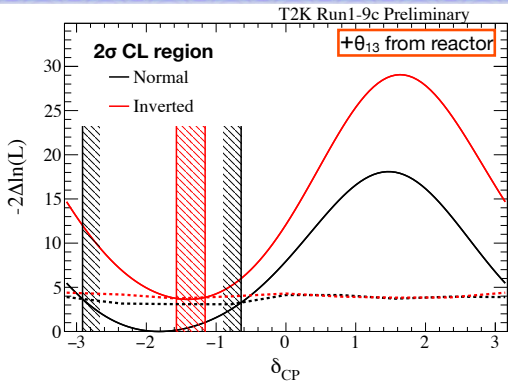
T2K:  $\theta_{13}$  and  $\delta_{CP}$ 

- Constraint on  $\delta_{CP}$  with T2K data alone
- Tighter constraint with  $\theta_{13}$  value from reactor



## T2K (2)

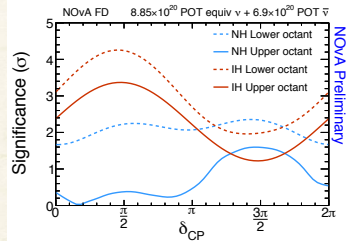
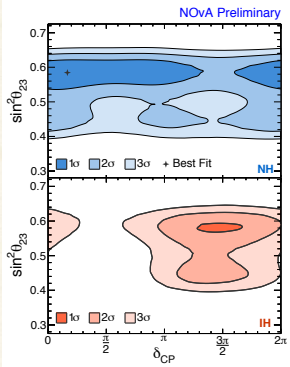
### T2K: constraint on $\delta_{CP}$



First hint of CP violation in the lepton sector!

- Comparant  $\nu_e, \bar{\nu}_e, \nu_\mu, \bar{\nu}_\mu$
- Quelle que soit la hiérarchie de masse, asymétrie entre  $\nu$  et  $\bar{\nu}$ ,
- Conservation de CP exclue à  $2\sigma$  (avec info des réacteurs)
- T2K-II extension (~ 2020) pour améliorer  $\delta_{CP}, \theta_{23}$

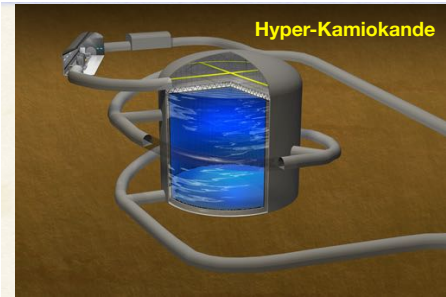
## NOvA: $\delta_{CP}$ and mass hierarchy



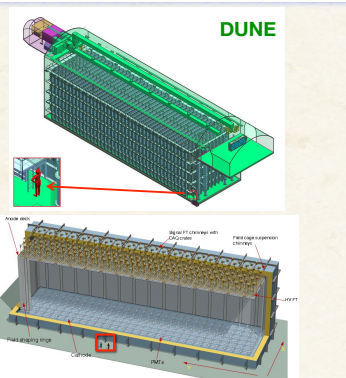
- Best fit: Normal Hierarchy,  $\delta_{CP} = 0.17\pi$
- Prefer NH by  $1.8\sigma$
- Exclude  $\delta_{CP}=\pi/2$  in the IH at  $>3\sigma$

- Comparant  $\nu_e, \bar{\nu}_e, \nu_\mu, \bar{\nu}_\mu$
- Plus longue basline que T2K, plus sensible aux questions de hiérarchie de masse (et préfère une hierarchie “normale”)
- Favorise une asymétrie entre  $\nu$  et  $\bar{\nu}$  ( $\delta \neq 0$ )

# Pour le futur: HyperK et DUNE



- See later talk by Prof. Jae Yu



- HyperK : upgrade de T2K, réservoir d'eau + Cerenkov
- DUNE : Fermilab vers Sanford (Dakota), argon liquide
- violation de CP, hiérarchie de masse
- opérationnels en 2027

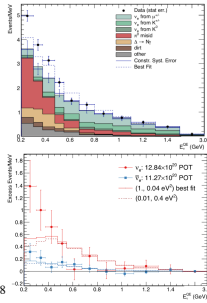
# Des neutrinos en plus ?

## MiniBooNE – New Data Set

Total neutrino data observes an excess of  $381.2 \pm 85.2$  ( $4.5\sigma$ )  $\nu_e$ -like events.

Combined with antineutrino data, total excess is  $460.5 \pm 95.8$  ( $4.8\sigma$ )

Neutrino and Antineutrino excess become consistent with each other.

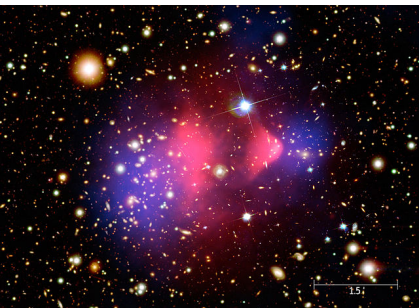
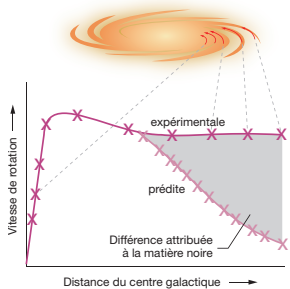


A.A. Aguilar-Arevalo et al. [MiniBooNE Collaboration], arXiv:1805.12028

- LSND dans les années 1990: oscillations  $\bar{\nu}_\mu \rightarrow \bar{\nu}_e$ , avec observations en désaccord avec d'autres mesures
- MiniBooNE:  $\bar{\nu}_\mu \rightarrow \bar{\nu}_e$  ou  $\nu_\mu \rightarrow \nu_e$ , confirmant LSND !
- neutrino stérile supplémentaire utile, mais pas suffisant pour décrire toutes les observations concernant les oscillations de neutrinos (+ contraintes cosmologiques ?)

# Lumière sur la matière noire

# Matière noire et nouvelle physique



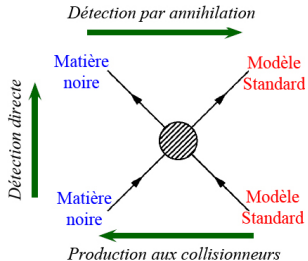
En se basant sur les lois de la gravitation, pas assez de matière visible

- Pour expliquer la dynamique des grandes structures (galaxies...)
- Pour décrire l'évolution de l'Univers (ray. de fond cosmologique)

## Matière "noire"

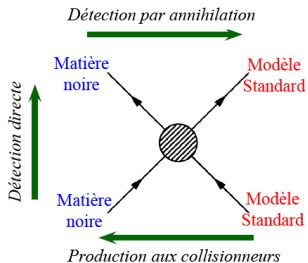
- lourde, stable, neutre, interagissant peu avec son environnement, hormis par interaction gravitationnelle
- particule nouvelle  $\chi$ , hors du Modèle Standard ?

# Observer la matière noire



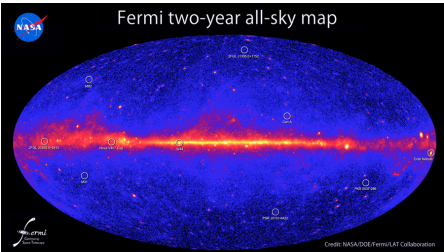
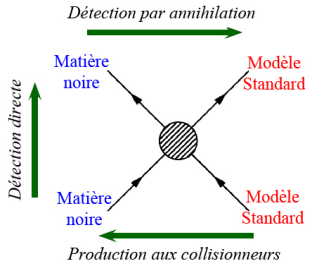
- La produire en accélérateur (si assez “légère”)

# Observer la matière noire



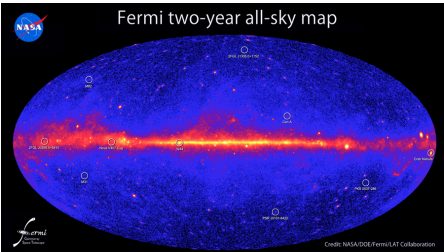
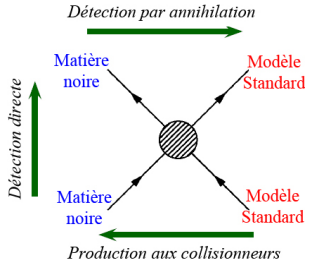
- La produire en accélérateur (si assez “légère”)
- La détecter lors de son passage sur Terre  
⇒ interaction avec noyau  $\chi + X \rightarrow \chi + X$  (recul du noyau)

# Observer la matière noire



- La produire en accélérateur (si assez “légère”)
- La détecter lors de son passage sur Terre  
    ⇒ interaction avec noyau  $\chi + X \rightarrow \chi + X$  (recul du noyau)
- Voir son annihilation en observant le ciel  
    ⇒ rayons gamma monochromatiques ( $E_\gamma = M_\chi c^2$ )  
    ⇒ excès de rayons cosmiques de haute énergie

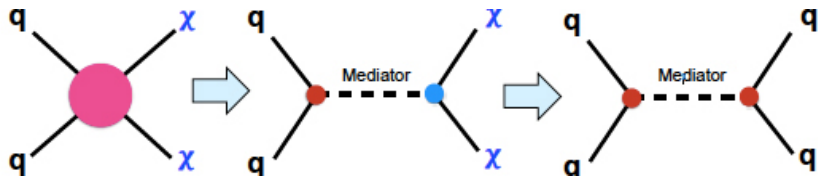
# Observer la matière noire



- La produire en accélérateur (si assez “légère”)
- La détecter lors de son passage sur Terre  
    ⇒ interaction avec noyau  $\chi + X \rightarrow \chi + X$  (recul du noyau)
- Voir son annihilation en observant le ciel  
    ⇒ rayons gamma monochromatiques ( $E_\gamma = M_\chi c^2$ )  
    ⇒ excès de rayons cosmiques de haute énergie
- Déetecter sa présence par observations astronomiques  
    ⇒ déformation d’images par lentilles gravitationnelles

# En collisionneur (1)

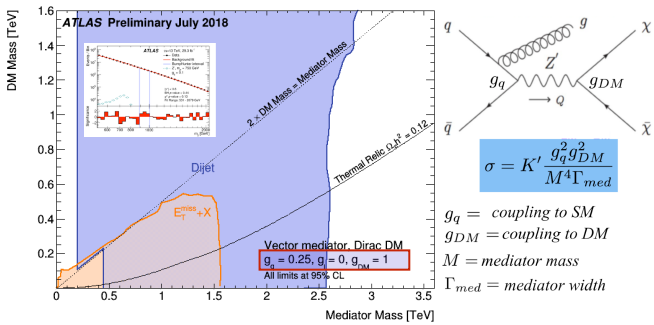
- Collision produit paire particules de matière noire qui s'évadent du détecteur sans interagir avec personne (énergie manquante)
- Produit via une particule médiatrice qui peut aussi se désintégrer en particules du MS (jets de particules)



# En collisionneur (2)

## MEDIATOR SEARCHES AND DM: SPIN-1

- By fixing couplings limits on mediators cross section **translated into DM production cross section**

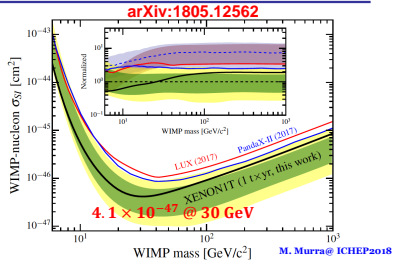


- Pas d'observation au LHC (modèles matière noire exotique)
- Sections efficaces du MS converties en bornes sur masse médiateur et matière noire

# En détection directe: haute masse

- Matière noire interagissant avec cible
- Recul des noyaux, détection par ionisation/lumière/chaleur
- en particulier, XENON1T: 3.5 t de xénon liquide (ionisation/lumière), au Gran Sasso (Italie)
- futur: Xenon nT en 2019

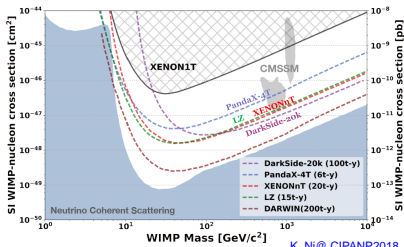
Latest XENON1T result (1 ton-years)



Hyun Su Lee, Center for Underground Physics (CUP), Institute for Basic Science (IBS)

11

Sensitivities for high mass region



K. Ni @ CIPANP2018

Hyun Su Lee, Center for Underground Physics (CUP), Institute for Basic Science (IBS)

19

# En détection directe: basse masse

- DAMA/Libra confirme modulation vue avec cristaux NAI(Tl)
- en contradiction avec les observations d'autres expériences utilisant d'autres techniques
- nouvelles expériences en route avec technique similaire

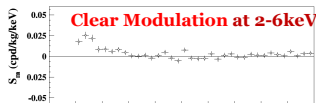
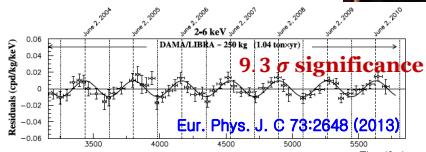
## DAMA/LIBRA-phase1

### DAMA/LIBRA experiment

- Annual Modulation Searches with an array of **Nal(Tl) crystals** (250 kg)



Claimed an observation of the dark matter

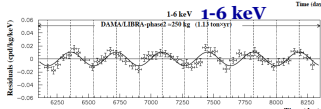
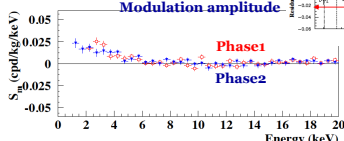
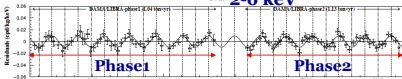
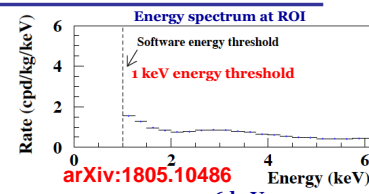


# En détection directe: basse masse

- DAMA/Libra confirme modulation vue avec cristaux NAI(Tl)
- en contradiction avec les observations d'autres expériences utilisant d'autres techniques
- nouvelles expériences en route avec technique similaire

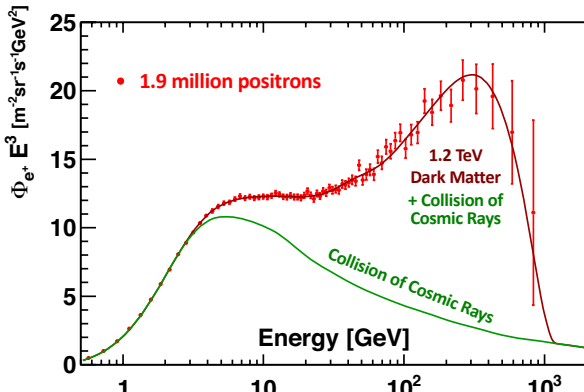
## DAMA/LIBRA-phase 2

- Energy threshold reached to 1 keV with better PMTs
- Still there is modulation
- Significance
  - ❖ 1-6 keV : 9.5  $\sigma$  (phase 2)
  - ❖ 2-6 keV : 12.9  $\sigma$  (phase 1+2)
- Increased modulation amplitude below 2keV



# En annihilation dans le ciel

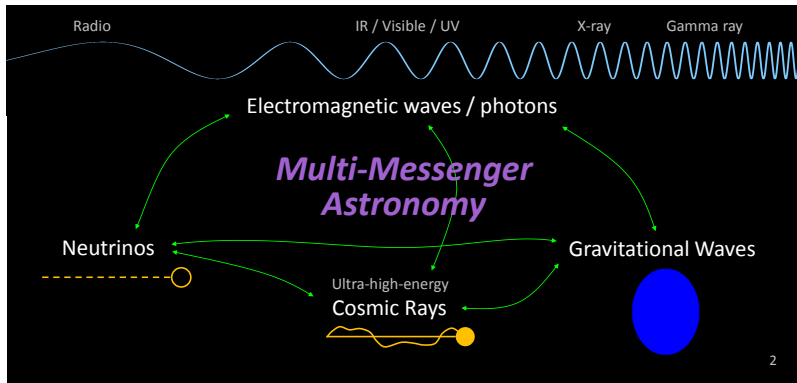
The positron flux appears to be in agreement with predictions from a 1.2 TeV Dark Matter model (J. Kopp, Phys. Rev. D 88, 076013 (2013))



- AMS installé sur station spatiale pour étudier rayons cosmiques
- flux  $e^+$  compatible avec rayons cosmiques + matière noire
- mais d'autres origines (astrophysiques) envisageables (restes de supernova, pulsars, propagation rayons cosmiques)
- difficile de rendre compte de toutes les infos sur les rayons cosmiques

# Naissance d'une nouvelle astronomie

# L'astronomie multi-messagers



# Pour observer de nombreuses sources

## Can look at individual sources, or populations

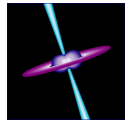
- Stellar core collapse → gravitational waves? (if non-axisymmetric collapse)  
[supernova] → low-energy neutrinos (from nuclear reactions)  
→ UV/visible/IR light (from expanding envelope)  
→ cosmic rays (shock acceleration in SN remnant)



Bill Saxton,  
 NRAO/AUI/NSF

- High-energy cosmic rays interacting with ambient photons  
→ high-energy neutrinos (Waxman & Bahcall 1998)

- Relativistic jets — generated by accretion around black hole or neutron star  
[AGN, GRB] → high-energy neutrinos (from hadronic interactions and decays)  
→ EM emissions at a wide range of wavelengths  
(synchrotron emission from particles in turbulent magnetic fields; inverse Compton scattering)



P.J.T. Leonard,  
 NASA/GSFC

- Neutron star binary merger → gravitational waves  
→ relativistic jets (see above)  
→ UV/visible/IR light (from heated ejecta)

And other sources...

# IceCube lance une alerte

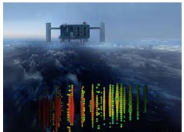
In September, IceCube detected an “extremely high energy” muon track pointing back near a known blazar

The blazar’s gamma-ray emission increased significantly around the same time!

Awaiting paper with final analysis results...

Slide made by  
Konstancja  
Satalecka

## Alerts: IC-170922A

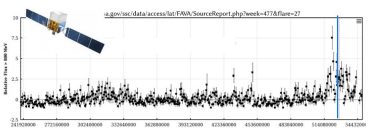


### GCN #21916

Sep 22<sup>nd</sup>, 2017 @20:54:30.43 UTC

IceCube detects a high-energy muon track with a high probability of being of astrophysical origin (EHE)  
RA: 77.43 deg (-0.80 deg/+1.30 deg, 90% PSF)  
Dec: 5.72 deg (-0.40 deg/+0.70 deg, 90% PSF)

**14 arcmin away from blazar TXS 0506+056!**



### ATel #10791

Sep 27<sup>th</sup>, 2017

Fermi/LAT detection of an **increased gamma-ray activity** of **TXS 0506+056**



### ATel #10817

Oct 4<sup>th</sup>, 2017

MAGIC: 12h of observations Sep 28th-Oct 3<sup>rd</sup>  
Detection > 5 sigma > 100 GeV  
**First time detection of TXS 0506+056 in VHE gamma-rays**

- Related
- 10845 Joint South XRT and Optical Observations of TXS 0506+056
  - 10844 Kanata optical imaging and polarimetric follow-up for previous TXS 0506+056 observations of the blazar TXS 0506+056 located inside the IceCube-170922A error box
  - 10833 MAXI/GSC observations of the blazar TXS 0506+056 located inside the IceCube-170922A error box
  - 10832 VERITAS follow-up observations of the neutrino event 170922A
  - 10831 MAXI/GSC observation of TXS 0506+056 located inside the IceCube-170922A error box
  - 10830 SALT-IIRS observation of the blazar TXS 0506+056 located inside the IceCube-170922A error box
  - 10817 First-time detection of VHE gamma-rays by MAGIC of the blazar TXS 0506+056 located with the recent EHE neutrino event IceCube-170922A
  - 10802 Fermi gamma-ray data prior to IceCube-170922A
  - 10801 AGILE confirmation of gamma-ray activity from the IceCube-170922A error region
  - 10798 Optical Spectrum of TXS 0506+056 (positive) prior to IceCube-170922A
  - 10794 ASAS-SN optical light-curve of blazar TXS 0506+056 located inside the IceCube-170922A error region, shows increased optical activity
  - 10792 Further South XRT observations of the blazar TXS 0506+056 located inside the IceCube-170922A error region
  - 10791 Fermi-LAT detection of increased gamma-ray activity from TXS 0506+056 located inside the IceCube-170922A error region
  - 10787 N.E.S. of the IceCube-170922A
  - 10773 Search for counterparts to IceCube-170922A with ANTARES

From Thursday:

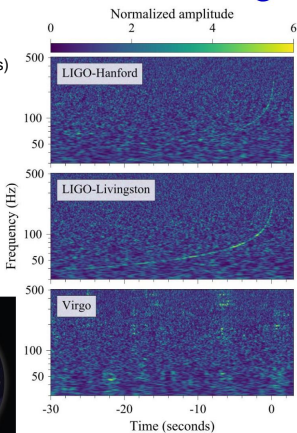
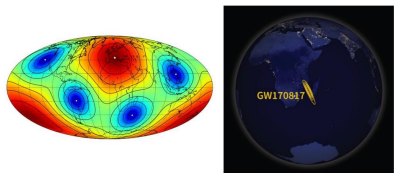
N. Arnaud

"In between the Observation Runs 2 and 3, a status report on the Advanced LIGO and Advanced Virgo GW detectors"

Normally the sky localization would be available within minutes, but had to work around a glitch in the LIGO-Livingston data

## GW170817: first binary neutron star merger

- Strong signal in both LIGO detectors  
(consistent with masses of known neutron stars)
- No signal in Virgo
  - Worse sensitivity
  - Source location close to a blind spot  
→ Antenna pattern effect
- Accurate sky localization (30 square deg.)
  - Latency of about 5 hours
  - Consistent with Fermi and Fermi-Integral localizations



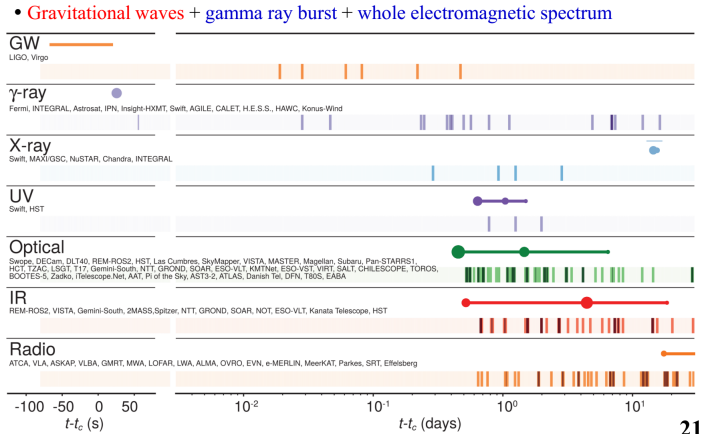
# Avec des contreparties électromagnétiques

From Thursday:

N. Arnaud

"In between the  
Observation  
Runs 2 and 3, a  
status report on  
the Advanced  
LIGO and  
Advanced Virgo  
GW detectors"

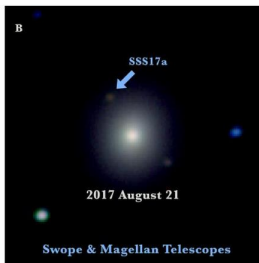
## GW170817 multi-messenger astronomy



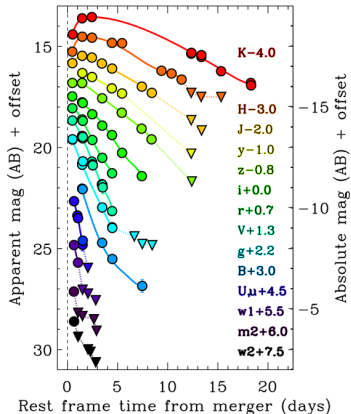
# ... dont on peut suivre l'évolution

Initially visible in ultraviolet and blue –  
but those faded quickly

Infrared peaked after 2-3 days, then  
remained visible for weeks



[Drout et al. 2017, Science 10.1126/science.aaq0049]



- De plus en plus d'informations différentes combinées
- Pour mieux comprendre les sources et les mécanismes

# En conclusion



Les participants d'ICHEP 2018  
dans l'auditorium de la conférence

A dans un an  
pour Lepton-Photon 2019  
à Toronto (Canada),  
ou  
pour EPS-HEP 2019,  
à Gand (Belgique)

ou dans deux ans,  
pour ICHEP 2020  
à Prague (Tchéquie) !

